

⇒ 50% вірогідності є числовими обсягами.

FAQ by Reaper™  
(1993, II-семестр)

- 1.1.1. Запропонуйте кілька прикладів, що ілюструють умовність поняття кількості ступенів вільності.
- Ландау каже: "Число незалежних величин, які необхідно задати для визначення положення системи, називається числом ІІ степенів вільності". Анісімов каже: "число ступенів вільності системи, яку можна задати з рівняннями вигляду  $\ddot{x}_i = f_i(x_1, \dots, x_n)$ ,  $i = 1, 2, \dots, n$  рівна  $n/2$ ". Пейн каже: "Кожний незалежний шлях, який система може отримувати енергію, називається степенем ІІ вільності. Наприклад, кожний гармонічний осцилятор може отримувати потенціальну енергію (координата  $x$ ) та кінетичну енергію (координата  $dx/dt$ ), отже він має 2 степеня вільності". Неважко тепер сумістити ці визначення: те, що говорить Л.Ландау та Г.Пейн – одне і те саме, адже співпадає з кількістю початкових умов в рівняннях руху Лагранжа. При цьому визначення, яке дас Анісімов точно рівне половині кількості степенів руху за Ландау та Пейном – тобто описує лише повну енергію для кожної координати. Таке визначення набирає силу в системах з незніченною кількістю степенів вільності, де розподіл між потенціальною та кінетичною енергіями там неможливо (і непотрібно). Мабуть, у відповіді на поставлене питання було передбачено розгляд математичних моделей із різними кількостями степенів вільності за Анісімовим, отже маємо:

$$\begin{aligned} \ddot{x} + 2\delta\dot{x} + \omega_0^2 x = 0 &\Leftrightarrow \begin{cases} \dot{x} = y; \\ \ddot{y} = -2\delta y - \omega_0^2 x, \end{cases} n = 2 \Rightarrow 1 \text{ см. вільн.} \\ \ddot{x} + 2\delta\dot{x} + \omega_0^2 x = f(t) &\Leftrightarrow \begin{cases} \dot{x} = y; \\ \ddot{y} = -2\delta y - \omega_0^2 x + f(t), \end{cases} n = 3 \Rightarrow 1.5 \text{ см. вільн.} \\ \sum_{j=1}^n a_{j-1} \left( \frac{d}{dt} \right)^j x = 0 &\Leftrightarrow \begin{cases} \dot{x}_1 = x_2; \\ \ddot{x}_2 = -\frac{1}{c_1} \sum_{j=1}^{m-1} a_{j-1} x_j, \end{cases} n = m \Rightarrow m/2 \text{ см. вільн.} \end{aligned} \quad (1.1)$$

- 1.1.2. Під яким кутом фазової траекторії перетинають віс абсцис?
- Умова перетину фазовою траекторією вісі абсцис:  $y = \dot{x} = 0 = f(x, y)$ , тому фазової траекторії перетинають вісь абсцис під кутом, тангенс якого визначається рівнянням:  $\operatorname{tg}(\phi) = df(x, 0)/dx$ . Для лінійного дисипативного осцилятора маємо:
- $$\frac{df(x, y)}{dx} = -\frac{x + \epsilon y}{y}, \operatorname{tg}(\phi) = -\lim_{y \rightarrow 0} \frac{x + \epsilon y}{y} = \begin{cases} \infty, x \neq 0; \\ \epsilon, x = 0. \end{cases} \Rightarrow \phi = \begin{cases} \pi/2, x \neq 0; \\ \operatorname{arc tg}(\epsilon), x = 0, \epsilon = 2\delta/\omega_0. \end{cases}$$
- 1.1.3. Як обирається напрямок руху вздовж фазової траекторії на фазовій площині?
- Напрямок руху  $s$  по фазовій траекторії визначається переходом від однієї точки фазової площини до іншої з плинном часу, та може бути знайдений дослідженням кожного з рівнянь:  $f'_i(x_1, \dots, x_n, \dot{x}_1, \dots, \dot{x}_n) \geq 0$  або  $f'_i(s \cdot e_x) < 0$ ;  $\dot{x}_i = f_i$ ,  $i = 1, 2, \dots, n$ . Зазвичай, проекція вектора  $s$  на фазові траекторії, які не проходять через особливі точки фазової площини не є змінною свого напряму. Напрямок руху по дотичних сепаратрисах, які є фазовими траекторіями є таким самим, як і на найближчих фазових траекторій.
- 1.1.4. Поясніть, чому нульова ізокліна для дисипативних осциляторів зувається в другий та четвертий квадранти.
- Справа в тому, що додатня дисипація дає додаткове гальмування системи, пропорційне до швидкості. Це відповідає повороту фазового портрета для консервативного руху за часовою стрілкою. З іншого боку, повна енергія системи поступово зменшується, тому центр переходить в стійкий фокус, з урахуванням геометрії булого центру. Відповідно ж нульова ізокліна при повороті тепер буде розташована в другому та четвертому квадрантах. (читачу рекомендую прописати що устну математику).
- 1.1.5. У чому переваги методу аналізу руху динамічних систем за допомогою фазової площини?
- Пониження степеня диференційного рівняння на одиницю. Це найбільша перевага, адже переважну більшість коливальних систем можна описати сукупністю рівнянь виду  $\ddot{x}_i = f_i(x_1, \dots, x_n)$ ,  $i = 1, 2, \dots, n$ . Тому переході до простору, розмірністю  $2n$  дас зможу графічно побачити інтегральні криві, коливальної системи, і згідно з ними шукати

дисипації, та точного резонансу, для лінійного осцилятора із гармонічною вимушуючою силою матимемо:

$$x(t) \approx \frac{f_n}{2\omega_0\delta} \sin \omega_0 t (1 - \exp[-\delta t]). \quad (2.1)$$

Отже, розкладши експоненту в ряд отримаємо умову секулярності коливань:

$$\exp[-\delta t] \approx 1 - \delta t + \delta^2 t^2 - \dots; t \leq 1/(5\delta). \quad (2.2)$$

П'ятиріка тут з'явилася із радіотехніки, та означає, що третій член розкладу мас бути складати не більше 20% від величини другого.

- 1.2.4. Яка з двох систем електромеханічних аналогій зручніша для аналізу поведінки складних механічних схем?
- Сила-струм, адже вона не порушує топологічну еквівалентність систем (послідовне з'єднання). Тут можна зауважити, що інколи виконується модельовання складних для побудови механічних схем електричними, які спілty набагато простіше. Тоді аналіз поведінки механічної системи зводиться до вимірювання відповідних струмів та спектрального аналізу електротехнічними приладами.

- 1.2.5. Чим визначається швидкість зростання амплітуди коливань у перші моменти часу, після увімкнення зовнішньої гармонічної сили?
- при нульових початкових умовах – різницяю частот вимушуючої сили і власної частоти осцилятора, поділеною на півліп. Саме цей параметр визначає часовий поріг секулярного зростання амплітуди. Ясно, що амплітуда вимушених коливань у нерезонансному випадку зростає максимум до значення  $f_n / (\omega_0^2 - p^2)$ . Також це значення є швидкістю зростання амплітуди в початкові моменти часу. Якщо у нас резонансне становище, то для консервативного осцилятора амплітуда лінійно зростає із швидкістю  $f_n / (2\omega_0)$ , а у випадку дисипативного осцилятора – із швидкістю  $f_n / (2\omega_0\delta)$ .

- 1.3.1. Як змінюється вигляд інтегралу Дюгамеля для ненульових початкових умов?
- Інтеграл Дюгамеля описує лише вимушенну складову коливань, тому він не залежить від початкових умов.

- 1.3.2. Для яких систем функція Гріна не буде прямувати до нуля при  $t \rightarrow \infty$ .
- В загальному випадку – для нестійких. Якщо розглядати рівняння руху систем із сталими коефіцієнтами, то можна просто сористуватися критерієм Рауса Гурвиця. Але маєть на тому стапі, коли це питання було сформульоване малася на увазі консервативність системи.

- 1.3.3. Чи можна за видглядом передавальної функції визначити, що відповідна система є консервативною (дисипативною)?

- Серед чую, що можна, причому таким чином: якщо передавальна функція є комплексною, то система дисипативна, а коли передавальна функція дійсна, то і система консервативна. Доводити мені це в западло, тим більш часу небагато.

- 1.3.4. Поясніть якісно, чому для параметричних систем передавальна функція може залежати від часу.

- Тому, що вона залежить від параметрів, а параметри можуть залежати від часу. В яких випадках функція Гріна системи залежить не тільки від проміжку часу, що пройшов після удара, але і від моменту часу удару?

- Це може статися в параметрических системах, де параметри залежать від ачусу.

- 1.4.1. Що відбувається з коливаннями в параметричному контурі з емністю, що стрибкоподібно змінюється, якщо фазу коливань емністі в деякий момент часу замінити на протилежну?

- Нічого гарного! Якщо в контурі до цього моменту відбувається параметричний резонанс, то зміна фази накачування на протилежну обов'язково підсилила втрати повної енергії в контурі.

- 1.4.2. Якісно описані характеристики коливань у параметричному контурі з емністю, що стрибкоподібно змінюються, якщо період зміни емністі дещо зменшить від половини періоду власних коливань контуру.

- Розгортання подій буде таким самим, як і у випадку биття гармонічного осцилятора, із вимушуючою силою.

- 1.4.3. В контурі періодично стрибком змінюється індуктивність. Намалюйте часовий хід власних коливань у контурі та необхідний для його зростання часовий хід індуктивності.

вигляд параметричних розв'язків  $x_i(t)$ . Інші переваги – використання теоретичних додобок аналізу фазової площини, при описі макроскопічних параметрів коливальних систем із багатьма ступенями вільності (гази, рідини...), тощо.

- 1.1.6. Як впливає наявність дисипації на поведінку системи в околі сідлової точки? Дайте якісне пояснення.

- Сідло можна описати чотирма сепаратрисами: дві дотичні до фазових траекторій, та ще дві, які перетинають фазові траекторії під прямим кутом. Розглянемо рівняння сепаратрис для консервативної та дисипативної систем відповідно:

$$\begin{aligned} \text{дотичні: } & y = \pm \omega_0 x; \quad y = \pm x / \varepsilon; \\ \text{ортогональні: } & (y = 0, x = 0); \quad y = (-\varepsilon \pm \sqrt{\varepsilon^2 + 4})x / 2. \end{aligned} \quad (1.2)$$

Тепер неважко побачити, що вплив дисипації на сідло, повертає його на деякий малий кут за годинниковою стрілкою, та робить його антисиметричним відносно всіх абсцисс та ординат. Отже, швидкість системи «візок на горі» із дисипацією тепер більш різко спладає, коли візок йде вгору, та більш плавно спадає, коли візок спускається з гори. Саме цим пояснюється антисиметрия. А от втрати енергії візка зсувають його на більш енергетично низькі фазові траекторії, тому дотичні сепаратриси теж зсуваються. Проте, гарючансько зберігається ортогональність дотичних сепаратрис.

- 1.1.7. Опишіть послідовні зміни характеру особливості точок лінійного дисипативного осцилятора ( $\omega > 0$ ) при зміні параметра дисипації від  $-\infty$  до  $+\infty$ .

- Фізичні міркування тут прості, а назви особливих точок можна і забути:

$0 < \omega_h < \delta$	$0 < -\delta < \omega_n$	$\delta = 0$	$0 < \delta < \omega_n$	$0 < \omega_n < \delta$
нестійкий вузол	нестійкий фокус	центр	стійкий фокус	стійкий вузол

- 1.1.8. Вкажіть якісну відмінність між різними групами фазових траекторій для сильнодисипативного лінійного осцилятора. Чим відрізняються розв'язки рівняння руху для цих випадків?

- Стійкий вузол дійсно має дві суттєво різні групи розв'язків – це розв'язки, які хоча б раз проходять положення рівноваги, та розв'язки, які на протязі свого повільного життя лише досягають його. Перша група – сильно затухаючі коливання, а друга – спадна експонента.

- 1.1.9. Яким розв'язкам відповідають сепаратриси на фазовому портреті сильнодисипативного лінійного осцилятора?

- Точкою аперіодичним, тобто це такі розв'язки, енергія яких виетачас, щоб точно наблизитись до точок рівноваги, причому із нульовим прискоренням за координатою  $x$ . Це такі розв'язки, які знаходяться на грани між періодичними та аперіодичними. Причому розв'язки рівняння руху, які відповідають цим фазовим траекторіям, матимуть рівняння:  $x(t) = C \exp[-t/\varepsilon]$ .

- 1.2.1. Скільки ступенів вільності має коливаний контур, у який увімкнене джерело напруги?

- Вимущені коливання лінійного осцилятора мають півтора степеня вільності. Це показано в питанні 1.1.1. Проте, для цього питання треба записати диференціальнє

рівняння для коливального контура. Воно має вигляд:  $u(t) = L\ddot{q} + R\dot{q} + \frac{1}{C}q$ , (для

послідовного коливального контура) та  $I(t) = C\ddot{\Phi} + \frac{1}{L}\dot{\Phi} + \frac{1}{C}\Phi$  (для паралельного), та провести перетворення, аналогічні тим, що було зроблено в 1.1.1.

- 1.2.2. Чи можлива ситуація, коли при увімкненні джерела періодичної зовнішньої сили осцилятор не здійснюватиме биттів?

- Так, це можливо при резонансі причому із довільними початковими умовами. Це є однією можливістю, адже навіть при існуванні слабкої дисипації буде спостерігатись перехідний процес. З іншого боку, осцилятор можна прикліти до ковзанки, тоді розв'язок буде тривіальним (або вимушеним, якщо погано прикліти), і битті не спостерігатиметься. Це випадок, коли у нас є сильна дисипація (вільна складова мас аперіодичний характер руху, та битті відсутнє).

- 1.2.3. Протягом якого часу в експерименті можна спостерігати секулярне зростання амплітуди вимущених коливань у режимі точного резонансу?

- Питання має дуже оманливе формулування що до меж, які встановлені на перехід секулярного (тобто лінійного з часом) зростання до нелінійного. З одного боку на це може впливати дисипація, що мі розглянемо, а з іншого боку – нелінійності при великих амплітудах, що означає появу інших нерезонансних гармонік. Отже, у випадку

- Часовий хід коливань струму у контурі буде такий самий, як і в контурі з параметричною симністю (Анісімов, мал. 1.4.2).Період зміни ємності для параметричного резонансу також буде рівний половині періода власних коливань у контурі. А от фазу накачування індуктивністю оберемо із таких міркувань:

$W_{\text{ак}} = L\dot{\Phi}^2 / 2$ . Тобто момент збільшення магнітної енергії шляхом збільшення індуктивності має попадати на максимум струму. Таким чином, питання зводиться до перепозначення  $q \rightarrow I$ ,  $C \rightarrow L$  на відповідних епіграфах в підручнику.

- 1.4.4. Сформулюйте найбільш загальні умови, за яких періодична стрибкоподібна зміна ємності забезпечить зростання коливань у контурі.

- Енергія втрат на активному опорі за період коливань:  $\Delta W_a = \pi R q^2 \omega_0$ , енергія

накачування за період коливань:  $\Delta W_q = 2\pi \frac{q^2}{C_0} (\sin[\phi] - \sin[T/4 + \phi])$ . Тоді, відносно двох параметрів – фази та глибини модуляції ємності отримаємо деяку площину в просторі ( $\omega$ ,  $\phi$ ), кожна точка якої приводить до зростання коливань, а межа якої відповідатиме постійній амплітуді:  $\Delta W_a - \Delta W_q > 0$ . Зауважимо, що енергія накачування записана для малої глибини модуляції, де можна вважати, що  $q(\phi) = q(\phi + T/2)$ .

- 1.4.5. У чому полягає зміст параметричного наближення для неавтономних нелінійних осциляторів?

- Зміст параметричного наближення полягає в тому, що коливання неавтономного нелінійного осцилятора не впливають на режим накачування, тобто система не може сама змінити параметри деякого власного елемента. Іншими словами, розгляд зміни деякого параметра в системі яка не залежить від процесів, що беспосередньо відбуваються в системі, називається параметричним наближенням.

- 1.4.6. Сформулюйте умови застосовності параметричного наближення для маятника зі змінною довжиною підвісу.

- Сила, що регулює довжину підвісу має бути точно такою, щоб рух підвішеного тіла не міг керувати довжиною підвісу. Для цього, наприклад гарно підходить сила тертя спокою, із руучими імпульсами типу дельта функції Дірака, помноженої на щось  $\Theta$ .

- 1.5.1. Коли рух системи можна проаналізувати за методом повільних амплітуд?

- Метод повільних амплітуд звичайно застосовується для коливальних систем, повна енергія яких не залишається сталою, а досить повільно змінюється з часом. Тоді, в нульовому наближенні ми нехтуємо членами рівняння руху, які зумовлюють відток енергії, та будемо розв'язати спрощеного рівняння. Але, враховуючи, що в реалії енергія все ж таки змінюється, ми намагаємося описати що зміну залежністю від часу амплітуд в спрощеному розв'язку. Отже, рух системи можна проаналізувати за методом повільних амплітуд тоді, коли зміна її повної енергії за період незрівнянно мала в порівнянні із її середнім за період значенням, і швидкість зміни енергії також є малою в порівнянні із зміною енергії. Математично це можна записати через амплітуди (як пропорційну величину до повної енергії):  $\omega^2 |A| \gg \omega |A| \gg \dot{A}$ . Для порівняння відзначимо, що повна енергія гармонічного осцилятора має значення  $W = m\omega^2 A^2 / 2$ .

- 1.5.2. Чому при ступінчастому накачуванні поріг параметричного резонансу нижчий, ніж при гармонічному накачуванні?

- Ступінчасте накачування максимально використовує глибину модуляції параметра – зміна параметра відбувається з великою швидкістю саме в ті моменти, коли вона може передати максимальну енергію системі, а обернений хід є холостим, та не пов'язаний з енергетичним обміном. При гармонічному накачуванні, зміна параметра розтягнута в часі, а отже прямий хід (саме накачування) надає системі меншу енергію, аніж ступінчастий. До того ж, обернений хід, також розтягнений в часі, та відбирає деяку частку енергії із системи. Це обов'язково відображається на значенні критичної глибини модуляції, звісно при виконанні фазової умови. Так, в синій книжці виведено критичні значення глибини ступінчастого та гармонічного накачування:

$$m_{\text{кр.ст.}} = \pi / (2Q) < m_{\text{кр.гр.}} = 2/Q.$$

- 1.5.3. Чим обмежується зростання автоколивань коливань у параметричному генераторі?

- Відповідь на це питання, з огляду на синю книжку, може бути двоякою. З одного боку, при зростанні амплітуди коливань ми виходимо за межі параметричного наближення, тобто зростання амплітуди коливань обмежується врахуванням впливу стану системи

1.8.5. Чи завжди нелінійний дисипативний осцилятор є абсолютною стійким? Відповідь обґрунтуйте.

- Незавжди, бо на теж він і нелінійний, щоб у нього могли бути кілька особливих точок. А коли у осцилятора кілька особливих точок, то він вже нікак не може бути абсолютною стійким. Та навіть і при одній особливій точці він абсолютною стійким не обов'язково буде.

1.8.6. Чи є нелінійний консервативний осцилятор стійким за Ляпуновим? Відповідь обґрунтуйте.

- Найімовірніше що ні. Якщо у нелінійного консервативного осцилятора кілька особливих точок на фазовій площині, то він вже нестійкий за Ляпуновим. Далі, якщо у нелінійного консервативного осцилятора одна особлива точка, то вона має бути лише центром, який складено з концентричних кругів. Тоді й тільки тоді він буде стійким за Ляпуновим, хоча й не абсолютною стійким. При цьому, пам'ятаемо, що зазначена особлива точка зустрічається лише у лінійного консервативного осцилятора, тому із всією відповіальністю заявляю: не бачив світ стійкого за Ляпуновим консервативного нелінійного осцилятора.

1.8.7. До яких систем можна застосовувати критерій Рауса\_Гурвиша? На що він акаде?

- Він акаде на абсолютною стійкість лінійних автономних систем із скінченою кількістю ступенів вільності, що описуються ЛОДР з постійними коефіцієнтами.

1.8.8. В яких областях зміни параметрів лінійний дисипативний осцилятор буде грубим?

- Краще було б запрости біфуркаційні точки, адже це одне й те ж! Іх я і перерахую: нуль для параметра дисипації, і точка переходу  $\omega^2$  через нуль. Отже запевняю, що у всій незкінченій множині областей, у яких відсутні перераховані біфуркаційні точки, осцилятор є грубим.

на її параметри. З іншого боку, може виникнути ситуація, коли потрібно розглядати поряд з параметром накачування, що не може залежати від амплітуди сигналу в системі, параметр втрат, який залежить лише від сигналу системи. В цьому випадку рівняння балансу системи мас, порівняно з першим випадком, пристойний вигляд, та інколи може бути розв'язано. В загалі, у відповіді на це питання можна обмежитися фразою – при зростанні амплітуди коливань системи, виникають різномірні нелінійні ефекти, які призводять до втрат, та обмеження амплітуди. Хоча, з огляду на проблему ядерної катастрофи світу (лавиноподібний процес відповідає випадку, коли вихід за межі параметричного наближення не накладає обмеження на зростання амплітуди, а лише спотворює його), це твердження можна підіти небезпідставним сумнівам ☺

1.5.4. В якій зоні нестійкоті рівняння Мат'є можливе досягнення максимального інкременту параметричних коливань? Відповідь обґрунтуйте.

- Згадаємо, що інкремент параметричних коливань, які експоненціально зростають – величина, обернена до часу зростання амплітуди в  $e$  разів. Далі, в синій книжці не було доведено (але сказано на стр. 50), що інкремент параметричних коливань знижується пропорційним до глибини модуляції в степені найвищого порядку малини зворотнього сигналу. Тоді, намалювавши кілька десятків кружечків для діаграм зворотнього зв'язку, неважко побачити, що степень глибини модуляції (як інкремента) знижується з номером зони Мат'є. Тепер, врахувавши, що глибина модуляції на порядок менше одиниць, неважко зображені, що максимальний інкремент буде в першій зоні нестійкості рівняння Мат'є.

1.5.5. Наскільки точно рівняння Мат'є описує поведінку реального параметричного генератора?

- При включені генератору (звісно в припущення, що не буде ніяких скачків струмів та напруг) рівняння Мат'є досить точно описує початковий етап переходного процесу встановлення коливань. Але, коли амплітуда коливань є настільки великою, що виникають інші ефекти, які обмежують амплітуду коливань, то рівняння Мат'є перестає описувати поведінку параметричного генератора. Для наочності представимо собі чверть періода синуса, тоді рівняння Мат'є можна інтерпретувати як лінійне наближення функції синуса в околі нуля, а в точках, які є близькими до його екстремуму, лінійне наближення не відображає навіть суть картини.

1.6.1. Чи можна побудувати параметричний підсилювач на елементі з кубічною нелінійністю? Відповідь обґрунтуйте.

- Рівняння Мат'є для параметричного підсилювача з кубічною нелінійністю має вигляд:

$$\ddot{q} + 2\delta\dot{q} + \omega_0^2(1 + m \cos \omega_0 t)q + \beta q^3 = f_m \exp(i\omega_0 t) \quad (6.1)$$

З виду цього рівняння, та розв'язку лінійного рівняння Мат'є неважко зробити висновок, що розв'язок (6.1) слід шукати у вигляді:

$$x(t) = A \exp(i\omega_0 t) + B \exp(-i\omega_0 t) + C \exp(i3\omega_0 t) + D \exp(-i3\omega_0 t) \quad (6.2)$$

З виду (6.2) можна стверджувати, що при малій кубічній нелінійності матимемо такий самий параметричний підсилювач, але його вихідний сигнал буде дещо спотворений, що взагалі то не так суттєво, адже при великій відносній глибині модуляції розстройка буде малою, і третя гармоніка матиме далеке від резонансного значення. Проте, слід пам'ятати про фільтрацію на вихід, яка окрема місце і у випадку лінійного підсилювача.

1.6.2. З якою частотою пульсує амплітуда вихідного сигналу в одноконтурному параметричному підсилювачі?

- Пульсація на вихіді в такому підсилювачі зумовлена накладанням коливань з частотами (більш того вони ще протифазні)  $\omega$  та  $\omega_c = 2\omega_0 - \omega$ . Отже питання зводиться до стандартного рівняння суперпозиції двох гармонічних коливань, причому їхні амплітуди можна вважати рівними, адже це не впливає на частоту пульсації:

$$(\cos(\omega t) - \cos(\omega_c t)) = \sin((\omega - \omega_c)t/2) \sin((\omega + \omega_c)t/2). \quad (6.3)$$

Отже, частота биття:  $\omega_s = (\omega - \omega_c)/2$ .

1.6.3. Який фільтр необхідний для того, щоб позбутися пульсації вихідного сигналу з одноконтурному параметричному підсилювачі?

- Фільтр має непропускати коливань з частотою  $\omega_c = 2\omega_0 - \omega$ , отже це має бути вузькосмуговий фільтр, настроєний на частоту  $\omega$ .

1.6.4. Чи можна позбутися холостої частоти в одноконтурному параметричному підсилювачі?

- Ясно, що ні, адже ця частота близька до робочої, і має той самий порядок малини, що і сигнал зворотного зв'язку.

1.6.5. Частота сигналу параметричного підсилювача точно дорівнює половині частоти накачування. При яких зсувах фази сигналу щодо накачування сигнал буде підсилюватися, а при яких – ослаблюватися?

- Питався в яслях, і там сказали, що підсиленню відповідає нульовий зсув фази, а ослабленню – ~~най~~ четвертьперіодний, (мається на увазі період від резонансної частоти).

1.7.1. Чи може фазовий портрет неелінійної дисипативної системи мати особливу точку типу центр?

- Ніколи! Я допускаю всі особливі точки, окрім центра. Адже центр – це єдина особлива точка, для якої фазові траекторії є замкненими, а у дисипативного осцилятора повна енергія не залишається сталою, тому замкнені фазові траекторії не можливі.

1.7.2. Як змінюються особливі точки на фазовому портреті консервативної неелінійної системи неелінійної системи при введенні сильної дисипації?

- Можливі особливі точки консервативної неелінійної системи: Центр, сідло. При сильній додатній (відемній) дисипації вони переходят відповідно у стійкий (нестійкий) вузол, та у ~~переїдане~~ трактором сідло.

1.7.3. Перерахуйте відомі вам проекти ангармонізму неелінійних коливань.

- Багатий спектр коливань. А от неізохронність до ангармонізму я вважаю відношення не має, адже при усталених коливаннях неізохронність вже задана періодом розкладу сигналу в ряд Фурье.

1.7.4. Чи може система демонструвати неелінійні властивості при малих відхиленнях від положення рівноваги? Відпові обґрунтуйте.

- Та тут і грунтують німа чого, просто навіть в самому рівнянні осцилятора при певних (малих) відхиленнях від положення рівноваги члени вищого від першого порядку відхилення відкидаються, тому і демонстрації неелінійності не буде (інакше кажучи, щоб й помітити знадобиться такий мікроскоп, якого у вас нема).

1.7.5. Маятник відхилили на великий кут від положення рівноваги й відпустили. Як змінюватиметься з часом період та форма його коливань?

- Головно питання. Поперше зазначимо, що процес у нас явно дисипативний. Подруге – скажасмо з перших сторінок синього підручника точне рівняння руху мат. маятника:  $\ddot{\phi} + 2\delta\dot{\phi} + \omega_0^2 \sin(\phi)$ . Далі, неважко зображені фазовий портрет мат. маятника, який зображені на мал. 1.8.2. улюбленої книжці. Дивлячись на цей портрет, можна навіть з заплющеними очіма сказати, що період з часом зменшується, а форма коливань від розтягнутих в висоту ангармонічних прямугольних до гармонічних.

1.7.6. Як співідносяться періоди коливань уздовж фазових траекторій, однаково близьких до сеператриси для маятників з квадратичною та кубичною (відемнім) неелінійностями?

- У кубичної неелінійності період буде ~~менше~~, адже потенціал в неї ~~крутіший~~. Але це без детальної перевірки, так на око...

1.8.1. Яким критеріям стійкості відповідає рух в околі кожної з відомих вам особливих точок фазової площини?

- По перше, питання упирається в слово критерій. Я знаю єдиний критерій стійкості – Рауса-Гурвиця. Критерій – це умова на лінійний тип (вид, клас, орвал) стійкості. У випадку Рауса-Гурвиця – це умова на абсолютнону стійкість. Отже, абсолютно стійкими є стійкий фокус (за Ляпуновим) та стійкий вузол (за Ляпуновим). Але можна передбачити, що в питанні потрібно вимагатися визначення типів стійкості для кожної особливої точки. Зображенімо це в таблиці:

сідло	центр	нестійкий фокус	нестійкий вузол
абсолютно нестійкі	стійка за Ляпуновим	ербітально-стійка <del>нестійкі</del>	абсолютно нестійкі

1.8.2. Розташуйте критерії стійкості коливних систем за іхнію силуло.

- Абсолютно стійка > Стійка за Ляпуновим >> Орбітально стійка ~ асимптотично стійка >> Абсолютно нестійка. Далі за стійкістю параметрів: структурно стійка >> біfurкаційна.

1.8.3. Яким критеріям стійкості задовільняє рух математичного маятника?

- Асимптотично і структурно стійкий.

1.8.4. Яким критеріям стійкості задовільняє тригер?

- Ну блин пиздець! В звичайному режимі роботи – асимптотично (мас станови 0 і 1) і структурно (якщо молотком не довбанті) стійкий.

оде  
систем.  
нестійкі

нен  
брз

**1.9.1. Чи можна проаналізувати вимушені коливання математичного маятника під дією короткого сильного удару за методом інтеграла Фуре?**

Метод рядів та інтегралів Фуре застосовний лише для рівнянь де спрощується принцип суперпозиції, тобто для лінійних рівнянь, а матем. маятник описується нелінійним рівнянням, тому ні. (згоден.)

**1.9.2. Які труднощі виникають при аналізі вимушених коливань нелінійного осцилятора (в порівнянні з лінійним)?**

Вимушені коливання нелінійного дисипативного осцилятора описуються рівнянням:

$$\ddot{x} + F(x, \dot{x}) = f(t)$$

так як для нелінійних систем не спрощується принцип суперпозиції, то для кожної  $f(t)$  рівняння доводиться розв'язувати заново.

Крім того для довільної функції  $F(x, \dot{x})$  розв'язувати рівняння не вдається, тому вигляд функції слід конкретизувати. Для цього розкладаємо її у двовимірний ряд Тейлора:

$$F(x, \dot{x}) = 2\delta \ddot{x} + \omega_0^2 x + \alpha \dot{x}^2 + \beta x^3$$

(в силу слабкої дисипації обмежимося лінійним доданком  $\ddot{x}$ , а по  $x$  взяли з точністю до третього порядку).

**1.9.3. Опишіть механізм обмеження амплітуди вимушених коливань на резонансній частоті малих коливань для осцилятора з кубічною не лінійністю.**

Рівняння для моделі Дюфінга:

$$\ddot{x} + 2\delta \ddot{x} + \omega_0^2 x + \alpha \dot{x}^2 + \beta x^3 = f_m \cos(pt)$$

розвязок шукаємо у вигляді  $x(t) = A(t)\exp(ipt) + k.c.$

Після деяких спрощень і підстановок:  $I[d^2 + (I + \xi)^2] = F^2$

Прирівняємо параметр дисипації  $d=0$  покладено рівним 0 амплітуду зовнішньої сили тоді  $\xi = -I$ , а якщо покласти рівним 0 розстроювання  $\Delta$ , то

амплітуда коливань виявиться обмеженою:  $I = F^{2/3}$

Механізм обмеження коливань пов'язаний з неізохроністю. У випадку коли  $\xi = 0$  (тобто  $p = w_0$ ), зростання амплітуди призведе до нелінійного зсуву власної частоти  $i$ , отже, до появи нелінійного розстроювання між власною частотою та частотою зовнішньої сили. Це нелінійне розстроювання й обмежуватиме амплітуду коливань на рівні не лінійності, і при частоті зовнішньої сили, що = половині власної частоти осцилятора.

**1.9.4. Якісно поясніть ефект гістерезису при нелінійному резонансі.**

Ст. 83 рис. 1.9.2.

В основі ефекту гістерезису лежить не ізохронність коливань нелінійного осцилятора. Першопричина гістерезису – наявність двох стійких станів системи (двох різних значень амплітуди коливань) при одній і тій самій частоті зовнішньої сили. Один із них фактично відповідає лінійним коливанням із малою амплітудою, інший – суттєво нелінійним коливанням із великою амплітудою, коли за рахунок не ізохронності власна частота підстроюється до частоти зовнішньої сили.

**1.9.5. Якими факторами визначається верхня межа смуги гістерезису на резонансній кривій нелінійного осцилятора?**

У випадку слабкої дисипації при малих амплітудах зовнішньої сили гістерезис не виникає.

$$\text{Для випадку з дисипацією, розв'яземо рівняння відносно } \xi: I[d^2 + (I + \xi)^2] = F^2 \Rightarrow \xi_{1,2} = -I \pm \sqrt{\frac{F^2}{I} - d^2} \quad (1.9.34),$$

звідки видно, що максимальне значення інтенсивності  $I_{\max} = \left(\frac{F}{d}\right)^2$  досягається при  $\xi = -I$

Межі смуги гістерезису визначаються із співвідношення  $d\xi/dI = 0$ , тобто з рівняння  $F^4 - 4I^3F^2 + 4I^4d^2 = 0$

Рівняння є біквадратним щодо  $F$  і має дійсні корені, коли  $D \geq 0$  тобто при  $I \geq d$  (1.9.35)

При  $D < 0$  гістерезису не буде.

Прирівнюючи до нуля  $\Delta$  рівняння 1.9.34. та враховуючи 1.9.35. отримаємо точний вираз для граничної амплітуди зовнішньої сили, нижче якої

гістерезис відсутній:  $F_{cr} = \sqrt{2}d^{3/2}$

**1.9.6. Чи існуватиме область гістерезису на амплітудно-частотній характеристиці дисипативного осцилятора з квадратичною не лінійністю?**

В основі ефекту гістерезису лежить не ізохронність коливань нелінійного осцилятора. Не ізохронність обов'язкова притаманна нелінійним осциляторам. Не ізохронність – це відмінність власної частоти коливань від  $w_0$ . Точніше, власна частота виявилася функцією амплітуди (ст. 64, формула 1.7.8., перше рівняння).

Для осцилятора з не лінійністю не парного порядку не ізохронність з'являється вже в першому порядку малих. Якщо ж не лінійність парного порядку не ізохронність з'явиться в разрахунках із точністю до другого порядку малих.

**1.9.7. Чи можна реалізувати резонансний режим нелінійного осцилятора, маючи джерело зовнішньої періодичної сили з фіксованої частотою?**

Можна. Відкриваємо сторінку 83 і дивимось малюнок 1.9.2. верхня гілка третьої резонансної кривої при  $\xi < 0$  відповідає резонансному режиму. При цьому власна частота коливань автоматично підстроюється до частоти зовнішньої сили, чим і забезпечується резонансне зростання амплітуди. Таке підстроювання відбувається саме за рахунок не ізохронності.

**1.9.8. Якісно поясніть чому при малих амплітудах зовнішньої сили на резонансній кривій моделі Дюфінга відсутня область гістерезису.**

Ст.. 84 п. 1.9.8.

$$\xi_{1,2} = -I \pm \sqrt{\frac{F^2}{I} - d^2}$$

межі смуги гістерезису визначаються із співвідношення  $d\xi/dI = 0$ , тобто з рівняння  $F^4 - 4I^3F^2 + 4I^4d^2 = 0$  при  $D < 0$  гістерезису не буде. Якщо пояснити якісно, то при малих амплітудах ми всіма не лінійностями можемо знектувати, а для лінійних осциляторів гістерезису не існує.

**1.9.9. За яких умов можливий нелінійний резонанс на половині гармоніці власної частоті осцилятора? Опишіть його механізм.**

Розглянемо вимушені коливання слабко дисипативного осцилятора з малою квадратичною не лінійністю.

$$\ddot{x} + 2\delta \ddot{x} + \omega_0^2 x + \alpha \dot{x}^2 = f_m \cos(pt)$$

$$\delta \ll w_0, |\alpha| \ll 1$$

частоту зовнішньої сили слід вибрати рівної половині власної частоти малих коливань осцилятора:

$$\omega_0 - 2p = \Delta, |\Delta| \ll \omega_0$$

зовнішня сила збуджує коливання (нерезонансні) на частоті  $p$ . Квадратична не лінійність породжує коливання на частоті  $2p$ , що є резонансними для осцилятора.

Таким чином розв'язок шукамо у вигляді:  
 $x(t) = A \exp(ipt) + B \exp(i2pt) + \text{к.с.}$

вирази для амплітуд будуть такі (ст. 86)

$$A = \frac{2f_m}{3\omega_0^2}, \quad B = -\frac{2\alpha f_m^2}{9\omega_0^5(\Delta + i\delta)}$$

отже резонанс на половині гармонії можливий при наявності квадратичної

#### 1.10.1. Чому гамільтонівські системи з одним ступенем вільності завжди інтегрованими?

Гамільтонівські системи з одним ступенем вільності є завжди інтегрованими оскільки у них завжди можна перейти до змінних дія-кут так, щоб формулі 1.10.2 1.10.3

#### 1.10.2. поясніть механізми взаємного впливу амплітуди і частоти в процесі фазових коливань.

Для фазових коливань за означенням:  $\ddot{\psi} + \Omega^2 \sin \psi = 0$ , де  $\Omega^2 = \epsilon k^2 V_0 w^4$

Це не лінійний аналог биття тут маємо справу з не ізохронністю, яка також описується 1.10.18.

#### 1.10.3. Які вимоги приводять до появи умови помірної не лінійності при аналізі фазових коливань?

$$V_0 \sim H_0(I_0) \sim \omega_0 I_0$$

відносна ширина резонансу за частотою має бути малою (1.10.27)  $\frac{\Delta \omega_c}{\omega_0} \sim \sqrt{\alpha \epsilon} \ll 1$  мализна відносної ширини резонансу за дією

$$\frac{\Delta I_c}{I_0} \sim \sqrt{\frac{\epsilon}{\alpha}} \ll 1$$

обєднуючи дістанемо (10.29)

$$\sqrt{\epsilon} \ll \sqrt{\alpha} \ll \sqrt{\frac{1}{\epsilon}}$$

#### 1.10.4. Коли вимушенні коливання осцилятора з квадратичною не лінійністю можуть стати не передбачуваними? В чому виявляється їхня непередбачуваність?

$$k = \frac{\Delta I}{\Delta I} = \frac{\Delta w}{\Delta \omega} \leq 1 \quad \text{параметр перекриття} \ll 1$$

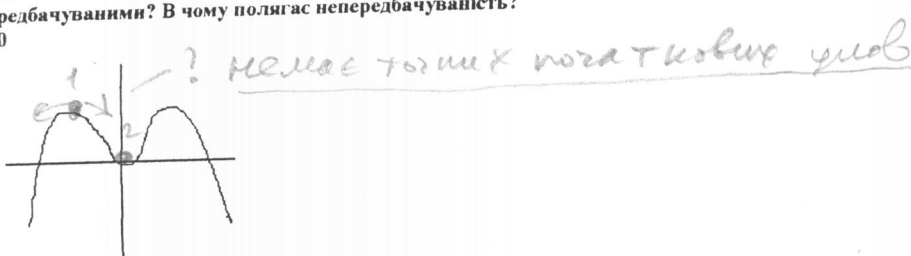
коли відношення ширини резонансу до віддалі між сусідніми резонансами  $\ll 1$   
 відбувається одночасно два резонансні коливання (з великими амплітудами) розвивається нестійкість (розділення сусідніх точок) і в результаті  
 мала зміна початкових умов у системі призводить до суттєвої зміни її руху у наступні моменти

#### 1.10.5 Чому перекриття не лінійних резонансів приводить до не передбачуваної поведінки осцилятора?

Див. 4 і ст. 95

#### 1.10.6 В якій області параметрів вимушених коливання консервативного осцилятора з кубічною не лінійністю можуть стати не передбачуваними? В чому полягає непередбачуваність?

$$\gamma < 0$$



#### 1.10.7 Чи завжди в околі сепаратриси вільних коливань, що проходить через сідло, при дії на таку систему періодичної зовнішньої сили задовільняється критерій Чирікова?

Так? Оскільки  $T \rightarrow \infty$  а  $w \rightarrow 0$

Критерій не виконується (1.10.8 абз.2)

#### 1.10.8 Чому на фазовому портреті фазових коливань поблизу сепаратриси завжди існує стохастичний шар?

Оскільки мала зовнішня сила призводить до не передбачуваної поведінки системи (невідомо куди потрапить точка під дією малої зовнішньої сили поблизу сепаратриси). (ст. 97)

#### 1.10.9 В яких випадках врахування нерезонансних доданків у потенціалі збудження є принциповим?

Поблизу сепаратриси  $T \rightarrow \infty$   $w \rightarrow 0$ , отже порушується умова вузькості резонансів  $\frac{\Delta \omega}{\omega} \ll 1$ , отже тут необхідно враховувати нерезонансні доданки. (ст. 99)

#### 1.11.1 Чи залежать коливання в автогенераторі Ван-дер-Поля від початкових умов?

Ні, не залежать, оскільки в автогенераторі коливання залежать тільки від властивостей системи.

#### 1.11.2 Чи можливе встановлення коливань у автогенераторі Ван-дер-Поля за відсутності активного опору в контурі?

За відсутності активного опору критичне значення крутості  $S^* = 0$  (дивись ф-лу 1.11.17). При цьому амплітуда коливань буде зростати і врешті вийде за межі справедливості меж апроксимації характеристики кубічним поліномом. З цього моменту теорія Ван-дер-Поля перестає бути вірною.

#### 1.11.3 Чи може існувати граничний цикл на фазовому портреті консервативної системи?

Ні тому що, фазові траекторії консервативної системи залишаються замкненими кривими як при  $t \rightarrow \infty$ , так і при  $t \rightarrow -\infty$ .

#### 1.11.4. На фазовому портреті існують декілька вікладених граничних циклів. Чи можуть усі вони бути стійкими?

Ні, оскільки фазова траекторія, що знаходиться між ними може прямувати при  $t \rightarrow \infty$  лише до одного з них.

1.11.5 Коли рух системи формально можна розділити на швидкий і повільний? Яким випадкам вони відповідають?

Коли в рівнянні руху при старшій похідній стоять малий параметр  $\mu$ . Траекторіям повільного руху відповідає  $\mu=0$ , швидкого -  $\mu \neq 0$  ( $\mu < 1$ )

1.11.6 До якого класу особливих точок належить початок координат на фазовому портреті релаксаційного автогенератора?

Нестійкий вузол, бо фазові траекторії виходять безпосередньо з нього, а зображену точку рухається по ним від початку координат, а не до неї.

1.11.7 Частина фазових траекторій релаксаційного автогенератора може наблизитися вертикальними прямыми. Для яких

областей фазової площини це наближення виконується найкраще? Де воно порушується?

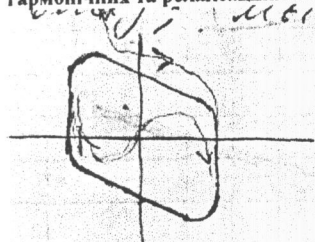
Воно порушується в околі фазової траекторії повільного руху. Далеко від неї воно виконується.

1.11.8 Як встановлюється напрямок швидкого руху на фазовому портреті релаксаційного автогенератора?

Згідно з рівнянням 1.11.34. 2

правіше від траекторії повільного руху коли  $\xi > (1 - \zeta)\zeta$ , зображену точка рухається вниз; лівіше від неї – вгору.

1.11.9 Якісно намалуйте фазовий портрет автогенератора Ван-дер-Поля для випадку, проміжного між режимами майже гармонічних та релаксаційних коливань.



1.11.10 Як змінюватиметься спектр автогенератора Ван-дер-Поля при переході від квазігармонічного до релаксаційного режиму?

Спектр автогенератора в квазігармонічному режимі містить лише одну гармоніку (решта нехтово мали). По мірі переходу зявлятимуться вищі гармоніки, доки не отримаємо спектр пилкоподібного сигналу.

1.11.11 Чи залежить форма автоколивань, що встановлюються в автогенераторі Ван-дер-Поля, від їхнього початкового інкременту?

Так: форма коливань визначається параметром  $\alpha$  а початковий інкремент коливань =  $a/2$

1.11.12 Чи с генератор Ван-дер-Поля не ізохронним?

В квазігармонічному режимі – ні. В релаксаційному – так. (період коливань  $T = 1.6 \frac{\alpha}{\omega_0^2}$ , а амплітуда залежить від  $\alpha$  по формулам 1.11.38.2 і

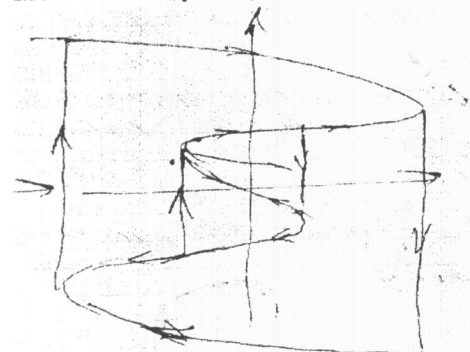
1.11.32.1)

1.11.13 Пояснити, чому вибором робочої точки можна перевести автогенератор Ван-дер-Поля з релаксаційного у квазігармонічний режим.

1.11.14 На фазовому портреті автогенератора з жорстким режимом самозбудження нестійкий граничний цикл знаходитьться всередині стійкого. Чи можуть вони розташуватися навпаки?

Ні, оскільки в початковий момент амплітуда коливань перевищуємо  $A_3$  (тобто в початковий момент зображену точка знаходитьться за межами нестійкого циклу), то амплітуда коливань зростатиме до нескінченності.

1.11.15 Якісно зобразіть фазовий портрет релаксаційного автогенератора з жорстким самозбудженням.



1.12.1 Опишіть схему дослідження стійкості резонансних кривих у задачі про вимушенну синхронізацію автогенератора.

Розраховується ширина смуги частот, у якій має місце вимушена синхронізація, для випадку малих амплітуд зовнішньої сили ( $F_m^2 < 4/27$ )

Дослідження стійкості резонансних кривих проводиться за такою самою схемою, що й для моделі Дюфінга.

Для того, щоб дослідити стійкість положення рівноваги, досить розглянути поведінку малих відхилень від цього положення.

Там де резонансні криві є стійкими матиме місце ефект вимушеної синхронізації – в контурі будуть присутні лише коливання на частоті зовнішньої сили.

1.12.2 Який зміст має малі та великі амплітуди зовнішньої сили в задачі про вимушенну синхронізацію автогенератора?

При ( $F_m^2 < 4/27$ ) (малі амплітуди) резонансні криві автогенератора розбиваються на дві частини, одна з яких лежить всередині петлі сепаратриси, тобто на кривих є ділянка неоднозначності.

При  $4/27 < (F_m^2) < 4/27$  (проміжні амплітуди) криві стають цілісними, але ділянки неоднозначності зберігаються.

При ( $F_m^2 > 4/27$ ) (великі амплітуди) резонансні криві стають цілісними. Див. рис. 1.12.2.6 ст. 119

1.12.3 Намалуйте й поясніть графіки залежності амплітуди та частоти биття в автогенераторі від розстроювання для проміжних значень амплітуди зовнішньої сили.

Див. мал..1.12.2

Коли сила мала резонансна крива проходить через область 1, 5, 4. малюнок такий самий як для малих сил.

Коли сила велика резонансна крива проходить через 1, 3, 5 маємо таке саме як для великих сил бо маємо межу стійкий-нестійкий фокус.

1.12.4 Якісно поясніть особливості ефекту вимушеної синхронізації для великих амплітуд зовнішньої сили.

При великих амплітудах вихід за межі смуги вимушеного синхронізації означає перетворення стаціонарної точки на „фазові площини” (а, б) із стійкого фокусу на нестійкий, який оточений стійким граничним циклом → масмо біfurкацію Андронова-Хопфа, що відповідає самозбудженню автогенератора.

**1.12.5 Намалюйте спиралі коливань у контурі при виході з режиму вимушеного синхронізації для випадків малої і великої зовнішньої сили?**

**1.12.6 За яких умов можлива вимущена синхронізація автогенератора на половині частоті автоколивань? Описати її механізм.**  
Можлива при  $p=2w_0$ . В цьому випадку резонансною є різниця частот між автоколиваннями та коливаннями на частоті зовнішньої сили, що виникає на квадратичній не лінійності.

**1.12.7 Завинчус чи занижус наближна формула  $\Xi = 2F_m$  справжню ширину смуги вимушеного синхронізації для малих амплітуд зовнішньої сили?**

$$\text{Занижус, так як ми поклали, що верхня межа еліпса } I=1, \text{ тоді як } I < 1 \rightarrow \text{ в формулі } \xi = \pm \sqrt{\frac{F_m^2 - I(1-I)^2}{I}} \text{ коли поклали } I=1 \rightarrow$$

$$\xi_1 = \pm F_{m_1} \text{ а коли підставили } I < 1 \rightarrow \xi_2 = \pm F_{m_2} \rightarrow$$

$$\rightarrow \xi_1 < \xi_2 \rightarrow \Xi = 2F_{m_1} < 2F_{m_2}$$

**1.13.1 Чому поведінка системи з невеликою кількістю ступенів вільності може стати не передбачуваною?**

Тому що при деяких значеннях параметрів системи, система може бути нестійкою. Для нестійких систем сусідні зображені точки із часом розбігаються, а осільки ми знаємо про початкові умови з деякою точністю, то неточність із плином часу зростає (ст..127)

До непередбачуваності приведуть також і поєднання нестійкості з фінітністю

**1.13.2 Яка мінімальна кількість ступенів вільності потрібна для того, щоб поведінка системи могла стати стохастичною?**

Необхідно щоб система мала 1,5 ступені вільності ( $>1$ ). Оскільки для того щоб рух був стохастичний необхідно: 1. нестійкість системи; 2. фінітність руху – обмеженість області фазового простору, в якій відбувається еволюція системи.

Та осільки фазові траекторії неможуть перетнатися на фазовій площині, то необхідно мінімум 3-D фазовий простір, тобто  $3/2=1,5$  ступені вільності (консервативний мат. маятник із зовнішньою силою) (ст..128)

**1.13.3 Чи може лінійна система демонструвати не передбачувану поведінку?**

Так може осільки лінійна система може мати  $>1$  ступінь вільності (наприклад 1,5 як конс. мат. маятник під дією зовнішньої сили)

**1.13.4 Чому фазові траекторії генератора шуму КПР виявляються незамкненими?**

Масмо 3-D фазовий простір .

(масмо систему з 3 рівнянн.)

Тут можемо користуватися виділенним діапазоном швидкого та повільного руху. Коли ми є на ділянці повільного руху, то точка рухається по спіралі, що розкручується, досягає якогось значення. Точка починає рухатись швидко до В а коли вона доходить до краю В она швидко рухається до А 1-2-3-4.

Але на поверхні В точка описує відрізок множини континуму, тому майже не можливо що вона попаде в ту саму точку О з якої почала рухатись. Ст. 131.

**1.13.5. Як змінюватиметься спектр коливань генератора шуму КПР при зростанні взаємної індуктивності катушок?**

П. 1.13.6. ст. 133, 134. змінюємо параметр  $a$  належить  $[0, \infty]$  малі – стійкий фокус; більші – нестійкий фокус з граничним циклом; великі – коли

$$U_m \geq \frac{pI_{\max}}{V_1} \text{ граничний цикл не вміщується на A, тому точка почне стрибати на B; величезні – коли розміри граничного циклу більші}$$

ділянки не монотонності, то стохастичний режим  $\rightarrow$  релаксаційний.

**1.13.6. Чи можна пояснити не передбачувану поведінку генератора шуму КПР буз урахуванням симності тунельного діода? Відповідь обґрунтуйте.**

Ні не можливо, осільки щоб була непередбачувана поведінка необхідно щоб  $U_m \geq \frac{pI_{\max}}{V_1}$ , тобто тут стає суттєва не монотонність вольт-

амперної характеристики і потрібно користуватися трьома рівняннями 1.13.5. ст. 131.

**1.13.7. Як виглядав би фазовий портрет генератора шуму КПР без урахування симності тунельного діода?**

Він був би автогенератор ( або більш ймовірно це просто відсутність траекторій швидкого руху)

**1.13.8. Поясніть якісно, чому при дуже великих інкрементах генератор шуму КПР переходить у режим релаксаційних коливань.**

Ст. 130 останній абзац ст. 134 четвертий абзац. Дуже великий зворотній зв'язок тому навіть в області В буде вже не затухання то омісний опір 0 тобто граничний цикл буде вже в області В і тому будуть йти по строго визначні траекторії і буде граничний цикл.

**1.13.9. Чи можливий у моделі Дюфінга режим стохастичних коливань? Відповідь обґрунтуйте.**

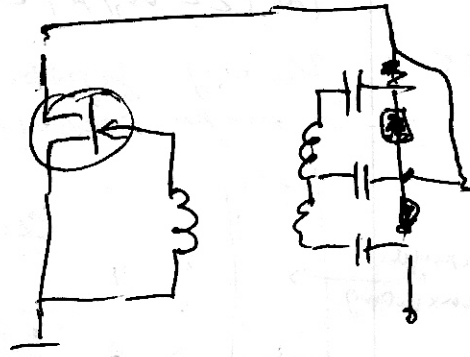
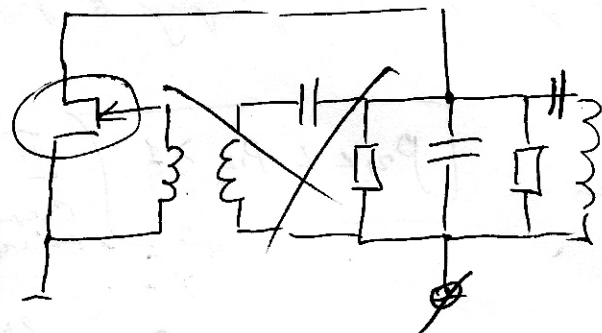
Ні ст. 83 четвертий абзац і малюнок бачимо резонансна крива є майже однозначна з гілки 3 ніяк не перейде на гілку 1. тобто хаотичної динаміки не буде. Всі положення стійкі і тому стохастичних коливань не буде.

**1.13.10. Чи можлива в принципі хаотична динаміка в автогенераторі під дією зовнішньої періодичної сили? Відповідь обґрунтуйте.**

Так наприклад в коливаннях автогенератора є особливі точки і нестійкі точки вузли і фокуси і також сідла ст. 119.

2.5.1.

Задано схему з кількох обертальних джерел та конденсаторів. Визначити стоку потоку та напруженість в центральному магнітному полі.



2.5.2.

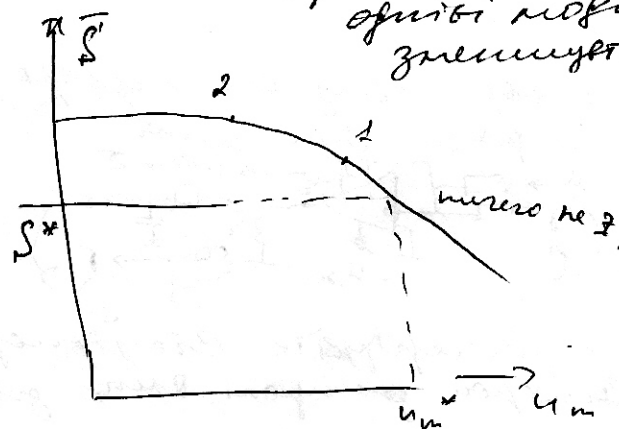
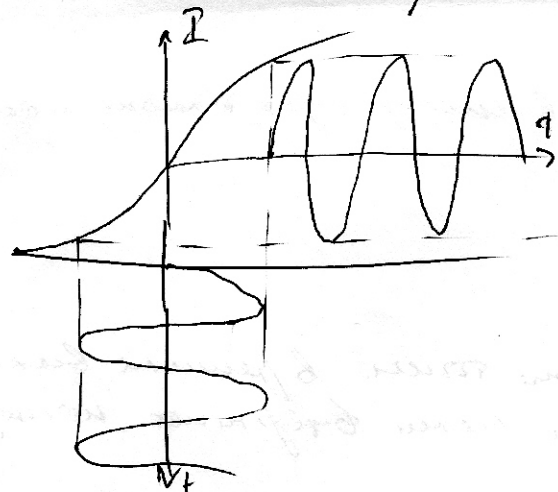
Як уникнути виникнення винуватчого поля у генераторі?

Можна це зробити застосуванням антизірвання поля, що проводиться по

антисиметричному полю, що єдиничне.

2.5.3.

Описати ефект бросного винуватчого поля у 2-рівнівному обертальному генераторі, який використовується в промисловості. Среди двох основних полів є 2 спрощені вирази якогої-то генератора, та їхні відповідності, які використовуються для винуватчого поля:  $\text{type 1}$  та  $\text{type 2}$ . Якщо вони є однаковими.



При збільшенні  $1$  одинівки поля в середній зазорі зменшується

2.5.4.

Можна зупинити рух г. в. відповідно до позиції як у відповідь

$$\left( \frac{d^2}{dt^2} + 2\delta_1 \frac{d}{dt} + \omega_{01}^2 \right) \left( \frac{d^2}{dt^2} + 2\delta_2 \frac{d}{dt} + \omega_{02}^2 \right) - k^2 \left( 2\delta_1 \frac{d}{dt} + \omega_{01}^2 \right) \times \left( 2\delta_2 \frac{d}{dt} + \omega_{02}^2 \right) = 0, - \frac{d}{dt} \left[ \frac{d^2}{dt^2} + (1-k^2) \left( 2\delta_2 \frac{d}{dt} + \omega_{02}^2 \right) \right] (d, -j1)^3 = 0$$

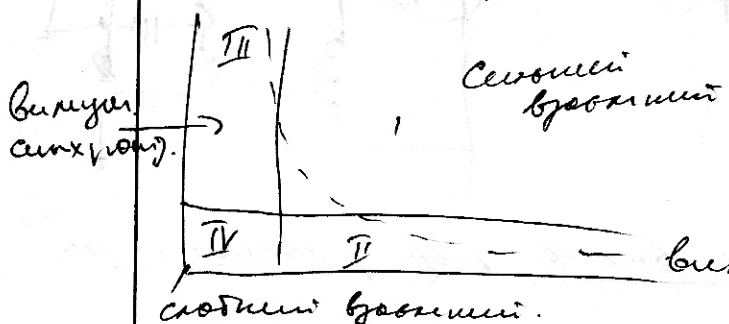
Відповідна позиція  $d_1, d_2, \delta_{1,2}$  (змінні) виконується. Величини  $\delta$  відповідно до позиції, та  $k$  виконує позиції  $d_1, d_2$  відповідно до позиції  $d_1, d_2$ .

$$D(t) = A(t) \exp(i\omega_1 t) + B(t) \exp(i\omega_2 t + k.c)$$

$$|\dot{A}| \ll \omega_1, |\dot{B}| \ll \omega_2^2/|A|, |\dot{\bar{B}}| \ll \omega_2/|B| \ll \omega_1^2/|B|$$

2.55.

Чтобы упростить задачу будем в язоге упр. вибрации. Синхронизация



$$\boxed{P_{21} < 1 \quad P_{12} > 1}$$

II и III одн. синхронизированы

2.56.

Двеяя резонанса называется "подрывом резонанса" или "разрушение звука" то блоке или отрывание резонанса. В результате появляется новый резонанс в язоге при бес. синхр.

2.56

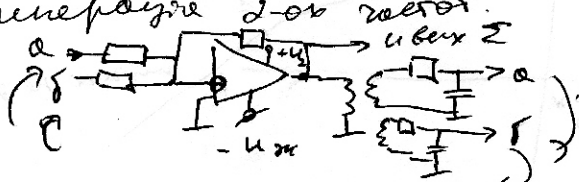
Блоки могут отрываться — создавая не вращение II и III.  
 (блоки могут вращаться под углом; блоки синхронизированы друг с другом)

2.57

Что является синон. физ. нейтрал. для 2-х язог. одноврем. генерации для квадратурных

2.58

Задача. Схема обобщенная, в язогу 2 язог. синхронизированы для звука.



2.59.

Охранимые зоны стационарных точек. В резонансе вибрации синхрон. генерации. Для язог. синхронизированы.

2.510

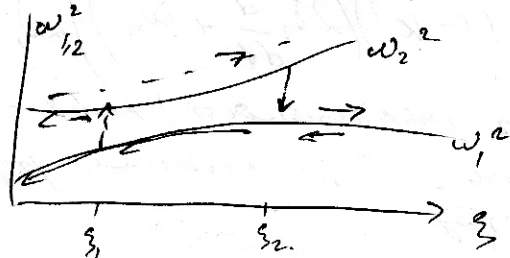
Вид резонанса называется: подрывом.

1 язог., 2-й язог. виб. называется: один подрывет второй.  
 Синхрон. неизолированные язоги

2.511.

Поведение язог. перед зонами резонанса:

2.177.  
пос.



переходные процессы. Термин подрывы 2-х язог. может означать переход полного вибрации бл. 2-х язог. бл. 2-х язог.

$$G = \frac{\omega_1^2}{\omega_2^2}$$

2.8 | 2.8.1 Аналитический методика (7 листов 650г)  
здесь не описано. Радиусы зерен не приведены  
при балансе R. Задаваема начальная структура  
материала для того чтобы не занимать место

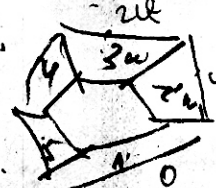
2.8.2 Зависимость от параметров

2.8.3 График радиуса размежевания. Константные  
параметры конфигурации включают в себя  
коэффициенты.

2.8.4 Установлено  
что радиус размежевания не  
зависит от конфигурации. Рассматривается  
окрестность края, в

2.8.5 оп. 196

2.8.6  $N\varphi = 2\pi n$   $n = 0, \pm 1, \pm 2, \dots$



$$N = \sum_{n=1}^{\infty} \frac{2\pi}{\varphi_n}, \frac{2\cdot 2\pi}{N_1}, \frac{3\cdot 2\pi}{N_2}, \dots, \frac{N}{2}$$

$$n \in \mathbb{Z}$$

N - количество линий

2.8.7  $\text{ka}$   $\text{зубчатое колесо}$   $\text{Бесчленное}$

$K = \frac{2\pi}{\lambda}$   $\varphi = K\alpha$   $2(N-1)\varphi = 2\pi n$

$N = \frac{\lambda}{\alpha}$   $2(N-1)K\alpha = 2\pi n$

$(N-1) \frac{2\pi\alpha}{\lambda} = 2\pi n$

$x - a = \frac{\lambda n}{2}$

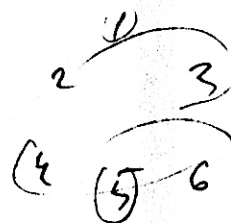
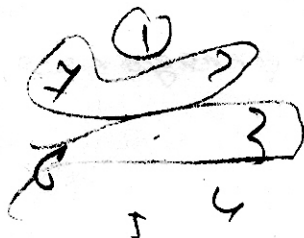
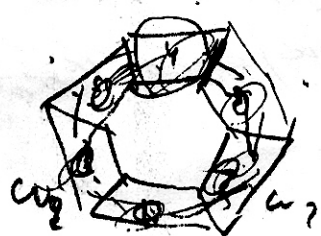
$n=1$   $x - a = \frac{\lambda}{2}$

2.8.8  $\text{зубчатое колесо}$   $\text{один зуб}$

$\text{для}$   $\text{один}$   $\text{коррекции}$

$\frac{2\pi}{N}, \frac{2\pi}{N}; \frac{1}{2} \frac{2\pi}{N} = \pi = \varphi_n$

распределение смысла в зоне коррекции



$$N \quad \varphi = \frac{2\pi n}{N}$$

2.8.9

$$\begin{aligned} & \text{1} \\ & \text{2} = \frac{1}{T} \\ & H \cdot T \end{aligned}$$

Розріл З. І.

1. Якісно пасивніше зразок "рошиловування" членом єлеу згутиних різних аміногорів.

Дуб с. 1402

2. Чи зробляє в системі зв'язання консервативні аміногорів мати нещільне бимоте? Відповідь обґрунтуйте.

Від. 1. Бимоте не є умови рошиловування  
також членом згутиних  
(можна  $\rightarrow$  відносити  $\rightarrow$  шарах), при  
цьому, якщо згутини події  
 $\rightarrow$  відносити  $\rightarrow$  відносити  
відносити рошиловування  $\rightarrow$   
не буде бимоте

2. Бимоте - це цикл енергії член  
ступеневий відповідні. Тобто  
якщо згутини відносити, то  
відносити відносити членом  
від пари  $\rightarrow O \rightarrow$  відносити  $\rightarrow O \rightarrow$   
 $\rightarrow$  однієї енергії  $O \rightarrow O \rightarrow$   
 $\rightarrow$  бимоте відсутні

3. Як співвідносяться членоми згутин  
згутин, як проміжну між ними  
система згутин згутинних  
аміногорів з гемоглобіном зв'язані?  
Відповідь. Також обґрунтуйте.

Дуб с. 142

4. Чим відрізняється за функцією  
чи роботою згутин згутинних

$$\frac{2\pi}{n}$$

Henry

на дискусивных совещаниях  
существует единообразие суждений

У поблизу ясунам. панчим  
дінаме на відміну від хомутом.  
настони падають з усіх кі-  
нців із залишком за ясунам

5. Іще відмінною особою є  
сторожа, яка має відповідні  
відмінно пасажирів та автомобілів.

Технол. динамика. Для блоков из гранита  
кажд. а-б - 3, для мрамора - 2,5

6. Що можливо, щоб у спільному зв'язку  
між астрономією та біологією виникли  
важливі на землі та в космосі від-  
мінні зміни в атмосфері? Завдання  
задає питання?

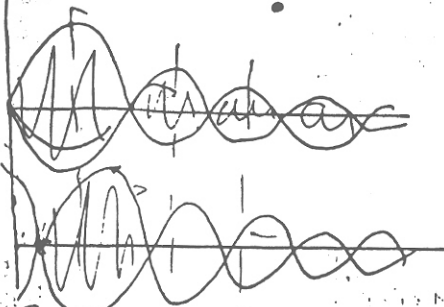
Нак, скую підгрупи настори синко  
різані, норма суперечні зважу  
підгруп їх таємо г. Забарівка № 30  
• № 1-105

7. Скільки хвильових фронтів амплітуди торкаємося за одиницю розміру вимірювань? Які фазові залежності є між  $r$  та  $r + \Delta r$ ? Відповідь обґрунтуйте.

Основи у висновку її розвитку  
чиши висновки відповідає на бур-  
х (n-1) падінням будь-якого з ци-  
нувань, тоді

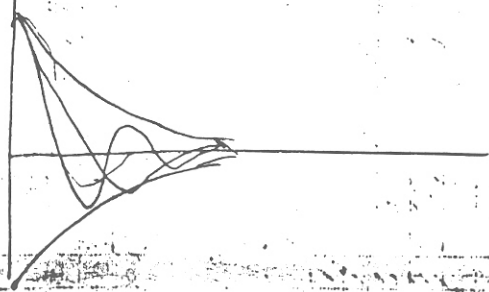
*Hydrobius* sp. (n. sp.)

8. Іхіною зображенієм ємої пам'яті  
у системі з блок зв'язаних  
спаєдженістивих думок та ідей.



Был за  
подъезд  
один раз.  
(информация  
закон)

8) Ізнос зоопарку етих самців є  
сумісні з вони збережені даними  
їх з античного джерела.



2.7.2. В консепт ~~хад~~ робить перевилювані  
В дис. функції адміністратора роблять хад

2.7.3. Момент

Бо нічого не приглядає.

2.7.3. Що виконати після цього? В касу з вимірювачем

11.50 вимірювач проковіє сканер і відео переходу до ходу 6, та  
що б.286. єднотипне лідерство - Конф - а вони пропланували цієї  
хиспілівши сан. А гасіння стосується сан + консерватив.

2.7.4. Момент

Іншо відмінно то в іншій та,

2.7.5.

3

2.7.6.  
1 В консепт. якість  
2 якість. якість  
3 якість якість

2.7.7. Не можут.

Бо нічого не чують.

2.7.9

2. (ТАК - ю як можуть)

2.7.10.

Момент (Пр. ерг. порт. інсп. КІТР)  
(СР. що це Ф-ва транс. замовник,  
був відповідний проект.)

2.8.1. Що зробити щоб не винести звук  
з-за вимірювача вимірювача з-за вимірювача  
 $Y_n = 2t/n$ .

2.8.2. Зробити зміни щоб зробити так що звук зникає  
з-за вимірювача вимірювача з-за вимірювача,  
є вимірювачем вимірювачем з-за вимірювача.  
 $Y_n = \delta n / (n-1)$ , де  $n = 2-76$  замок  
 $Y_n = K_{\text{вим}} \cdot a$ ,  $K_{\text{вим}} = 2t/\lambda$ , де  $a$  - довжина замка.

2.8.3. Зробити зміни щоб зробити вимірювач з-за  
вимірювача з-за вимірювача з-за вимірювача.  
Це зробити замість з-за і з-за вимірювача.  
Це може бути фільтр, але не зробити з-за.

2.8.7. *Pa*

2.8.5. Осциллятори робуть автосинхронне підсилювання в  
першій змінночастотній частині.



— це автосинхронний резонатор, який  
призведено до того, що в ньому єдині  
працювати лише певні частоти.

2.8.6. Контрольне №3.

Комівовані та хвильові.

2.8.7. Якими засобами "розподільвати" частоти діє  
автосинхронний резонатор?

Діємо осциллятори ідеальні, то

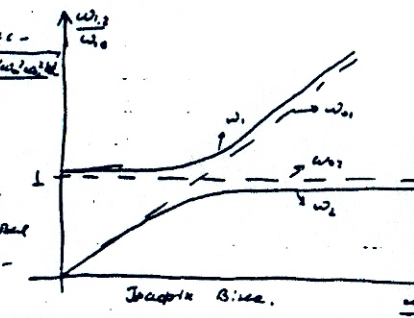
$$\omega_0 = \omega_1 + \omega_2 \text{ з функцією змін частоти}\text{.}$$
$$\text{Частота: } \omega_1 = \frac{\omega_1^2 + \omega_2^2 + \sqrt{(\omega_1^2 + \omega_2^2)^2 - 4\omega_1\omega_2}}{2}$$

Оскільки, що  $\omega_1^2 = \omega_0^2(1 + k_0)$ ,

де  $k_0$  — коефіцієнт залежності.

Навіть тоді як змінні здатності  
осцилляторів використовують винуваткові  
та електромагнітні. Іншою, ширшою по-  
ляють — напівпровідниківі частоти, з чистої

будь, що будь-які змінні частоти залежать від них  
або змін напруженості. Це спирається на залежність розподілення частот, які виникають використанням змінних частот, які виникають змінами осцилляторами. Зрештою розподілення частот є обмін енергії між осцилляторами.

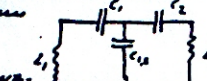


2.8.8. Чи залежить в с-ні відхилення компенсаційного осцилло-  
метра від частоти змінної частоти?

Буде відхилення обмін енергії, між осцилляторами, що  
призводиться до того, що набігає у с-ні. Тоді певні змінні  
осцилляторів виникають під час компенсації, які можуть  
розподілятися за будь-яким змінним частотам, тоді їх називають компенсацією відхиленнями частотами.

2.8.9. Як відхилення частоти змінюється за стисненням  
чи збільшенням?

Ось як це відбувається змінні — це  
зміна змінних частот — відповідно  
змінніх  $C_1$  та  $C_2$  зустрічніх, та  
получати залежні від змінніх змінніх.



2.8.10. Як змінюється електрична змінність змінното-  
ческої частоти змінної частоти?

Ось, і коли змінній частоті, тоді змінноточескою частоті.  
Це пропорціонально змінній частоті змінноточескою.  
Змінній частоті відповідає змінноточескою мода, якщо — пропорціонально.

- 2.7. ④. Ні, їз альгеломес. Одразу —  
що на місці поганої дозуваної пристору  
місцем місцем 50-60% приплюсувати  
після цього (1.187) пристор замінити її.

②. - ходить на ринок за говяжим вівся  
чиєм білоруським вівся - консервованім  
чиєм, чо є з білоруським одразу  
і що це є нічим.

- не відома що це є із зробленої айрану  
аналогічної побаченої: 200000 Н. Відповідь  
чиєї є, що це є відповідної відповідної (тобто рівноважної)  
не є вівся. Айраном югославським відповідної КС-справі,  
тобто не рівністю вівся.

③ ? Білорусь, за рівноважної, що, консерв  
з рівністю вівся

④. та що за рівністю консерві (1.180) одразу. Також

⑤. ? ергодичний одразу альгес з філ. обме-  
нних філ. філ. а в рівністю айрану  
ї що є одразу че. із зробленої вівся

⑥. Ні, осіннє одразу пристор пристор  
присевати вівся сів сів че що є

ї що. Просто їх можна їсти що.

⑦. Ні, осіннє є! що за рівністю консерв  
ї що є одразу че. із зробленої вівся  
ї що є одразу че. із зробленої вівся їа  
ї що є одразу че. із зробленої вівся їа  
ї що є одразу че. із зробленої вівся їа

⑧. ? ~~одразу~~ Сів сів пристор югославської  
ї що югославської Египету:

⑨ ? Також, чо є білоруським Айраном-хончаком  
ї що ? югославської ? югославської ? югославської  
ї що є одразу че. із зробленої вівся  
(50-60% вівся)

⑩ ? Касе 1-2.

- 2.8. ①. Над бортом сидят, как десантчики  
 (нашум авт. звука) приподнятое до  
 звукового уровня в плавательном  
 движении моряком.

②. Тонк. Осцилляции и бурь в воде на глуб.  
 Рядом  
 Аэродинамическая волна под водой. 50 см выс.  
 Аэродинамический радиус действия (действия)

③ (c. 1961)

④. Рождество R (x B. Биссоп) по сооружениям:  
 Аэродинамическая обработка  
 в борту и в корме и в B. Биссоп и в B. Биссоп

⑤. Испытание нового выступающего края борта.  
 испытаний, показавших, что «бесконечный» края  
 не хватает, чтобы  
 забороненное зоне

⑥.  $W_{B_1} = 25 \text{ m}$ , не  $\text{m}$ , а  $W_{B_1}$  не  $m$  то есть

~~Доказательство~~ доказательство вектора,  $\mathbf{1}_n = \frac{2\pi i}{\lambda}$ , где обозначим  
 $2(N-1) \cdot \frac{\pi n}{N} = 2\pi n, \text{тогда } \frac{\sqrt{n}}{2} = (N-1)a$

3) ~~нанесение~~  
 60 ♂ ♂ наименее + более подозрительные в 2 баках; изображение  
 одинаково как на 1-м изображении  
 число 200.000.  $q_n = \frac{C}{n-1}$

$$\left( \frac{2\pi}{N}, 2, \frac{2\pi}{N} \right) \text{ is a primitive } n^{\text{th}} \text{ root of unity}$$